

УДК 62-83: 621.313.333

ФИЗИЧЕСКИЕ ПРОЦЕССЫ АВТОКОЛЕБАТЕЛЬНОГО ДВИЖЕНИЯ В СИСТЕМЕ «ОДНОФАЗНЫЙ АСИНХРОННЫЙ ЭЛЕКТРОДВИГАТЕЛЬ – УПРУГИЙ ЭЛЕМЕНТ»

В. И. ЛУКОВНИКОВ, Ю. А. РУДЧЕНКО

*Учреждение образования «Гомельский государственный
технический университет имени П. О. Сухого»,
Республика Беларусь*

Введение

Развитие безредукторных электроприводов автоколебательного движения [1], [2] требует исследования происходящих в них физических процессов с целью детализации анализа и синтеза оптимальных условий возникновения и стабилизации автоколебательного процесса.

Цель работы

Выявить общие необходимые и достаточные условия и особенности возникновения устойчивого автоколебательного движения в системе «однофазный асинхронный электродвигатель – упругий элемент» на основе анализа происходящих в ней физических процессов.

Метод достижения цели

В основу метода положен классический подход к анализу энергообмена по Лагранжу при допущении, что процесс установившихся автоколебаний является гармоническим.

При этом в системе учитываются консервативные силы упругих элементов и движущихся масс, диссипативные силы сухого и жидкостного трения, а также электромагнитные силы непотенциального характера.

Общие аналитические соотношения

В канонической форме уравнение движения автоколебательной системы «однофазный асинхронный электродвигатель – линейный упругий элемент» может быть записано в виде [1]

$$\ddot{\varphi} + \varphi = \mu_d(\dot{\varphi}) - \mu_n(\dot{\varphi}), \quad (1)$$

где φ , $\dot{\varphi}$, $\ddot{\varphi}$ – относительные угловая координата, скорость и ускорение; $\mu_d(\dot{\varphi})$ – относительная механическая характеристика однофазного электродвигателя; $\mu_n(\dot{\varphi})$ – относительная механическая характеристика диссипативных сил нагрузки.

Ограничиваясь полиномиальной аппроксимацией механической характеристики двигателя по Сюмеку

$$\mu_d(\dot{\varphi}) = \mu_1 \dot{\varphi} - \mu_2 \dot{\varphi}^3 \quad (2)$$

и механической характеристикой нагрузки в виде сил сухого трения по Кулону и линейного жидкостного трения (демпфирования)

$$\mu_n(\dot{\phi}) = \mu_3 \text{Sign } \dot{\phi} + \mu_4 \dot{\phi}, \quad (3)$$

запишем уравнение (1) в виде

$$\ddot{\phi} + \phi = \mu_1 \dot{\phi} - \mu_2 \dot{\phi}^3 - \mu_3 \text{Sign } \dot{\phi} - \mu_4 \dot{\phi}. \quad (4)$$

При гармонической линеаризации установившегося автоколебательного режима $\phi = R \cos \tau$ из уравнения (1) прямой подстановкой можно получить, что амплитуда первой гармоники электромагнитного момента двигателя $\mu_{дм,1}$ равняется амплитуде первой гармоники нагрузки $\mu_{нм,1}$.

Тогда в соответствии с разложением в ряд Фурье получим с учетом равенств (2–4), что

$$\frac{1}{p} \int_0^{2p} [\mu_1(-R \sin \tau) - \mu_2(-R \sin \tau)^3] \cdot (-\sin \tau) d\tau = \frac{1}{p} \int_0^{2p} [\mu_3 \text{Sign}(-R \sin \tau) + \mu_4(-R \sin \tau)] \cdot (-\sin \tau) d\tau.$$

После преобразований найдем уравнение радиусов предельных автоколебаний:

$$\mu_1 R - \frac{3}{4} \mu_2 R^3 = \mu_4 R + \frac{4}{\pi} \mu_3.$$

Вводя новую переменную

$$\rho = R \cdot \sqrt[3]{\frac{3p \cdot \mu_2}{16 \cdot \mu_3}},$$

получим обобщенное уравнение условий возникновения автоколебательного движения

$$\rho^3 - \beta \rho + 1 = 0, \quad (5)$$

где β – бифуркационный параметр, определяемый по формуле

$$\beta = \sqrt[3]{\frac{p^2(\mu_1 - \mu_4)^3}{12\mu_3^2 \cdot \mu_2}}.$$

Наибольший из вещественных корней уравнения (5)

$$\rho_m = 2\sqrt{\frac{\beta}{3}} \cos\left[\frac{p}{3} - \frac{1}{3} \arccos\left(\sqrt{\frac{27}{4\beta^3}}\right)\right]$$

определяет устойчивый автоколебательный цикл с амплитудой

$$R_m = \rho_m \sqrt[3]{\frac{16\mu_3}{3p \cdot \mu_2}}. \quad (6)$$

Тогда можно записать следующим образом законы изменения:

- координаты $\varphi = R_m \cos \tau$;
- скорости $\dot{\varphi} = -R_m \sin \tau$;
- ускорения $\ddot{\varphi} = -R_m \cos \tau$;
- электромагнитного момента $\mu_d = -(\mu_1 R_m - \frac{3}{4} \mu_2 R_m^3) \sin \tau$;
- нагрузочного момента $\mu_n = -(\mu_4 R_m + \frac{4}{p} \mu_3) \sin \tau$;
- кинетической энергии $q_k = \dot{\varphi}^2 = R_m^2 \sin^2 \tau$;
- потенциальной энергии $q_n = \varphi^2 = R_m^2 \cos^2 \tau$;
- кинетической мощности $p_k = \frac{dq_k}{d\tau} = 2R_m^2 \sin \tau \cdot \cos \tau$;
- потенциальной мощности $p_n = \frac{dq_n}{d\tau} = -2R_m^2 \sin \tau \cdot \cos \tau$;
- электромагнитной мощности $p_d = \mu_d \dot{\varphi} = R_m (\mu_1 R_m - \frac{3}{4} \mu_2 R_m^3) \sin^2 \tau$;
- мощности нагрузки $p_n = \mu_n \dot{\varphi} = R_m (\mu_4 R_m + \frac{4}{p} \mu_3) \sin^2 \tau$.

Численная иллюстрация физики автоколебательного процесса

Рассмотрим физику процесса в реальной автоколебательной системе «однофазный асинхронный электродвигатель – маятник» при малых углах автоколебаний, когда ее параметры по (4) равны: $\mu_1 = 1,73$; $\mu_2 = 0,77$; $\mu_3 = 0,25$; $\mu_4 = 0,4$.

Радиус фазовой траектории устойчивого автоколебательного цикла согласно (6) будет $R_m = 1,3798$, а законы изменения переменных величин:

- $\varphi = 1,3798 \cos \tau$;
- $\dot{\varphi} = -1,3798 \sin \tau$;
- $\ddot{\varphi} = -1,3798 \cos \tau$;
- $\mu_d = -0,87 \sin \tau$;
- $\mu_n = -0,87 \sin \tau$;
- $q_k = 1,9038 \sin^2 \tau$;
- $q_n = 1,9038 \cos^2 \tau$;
- $p_k = 1,9038 \sin 2\tau$;
- $p_n = -1,9038 \sin 2\tau$;
- $p_d = 1,2 \sin^2 \tau$;
- $p_n = 1,2 \sin^2 \tau$.

На рис. 1 представлены временные диаграммы указанных переменных, ориентированные в периоде по крайним и средним точкам положения маятника.

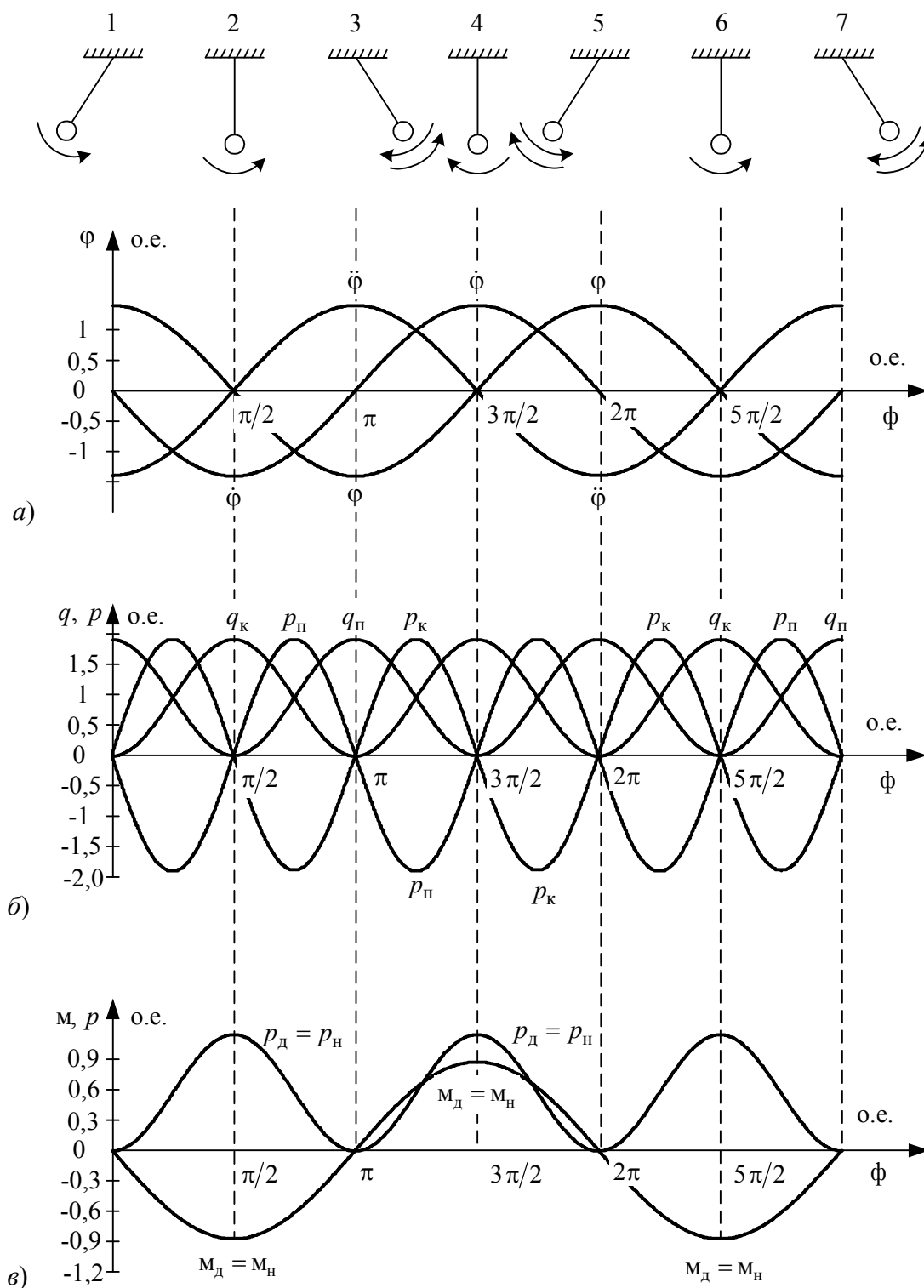


Рис. 1. Временные диаграммы координаты, скорости и ускорения (а), кинетической и потенциальной энергий (б), моментов и мощностей двигателя и нагрузки (в) при автоколебательном движении

Их анализ показывает, что в системе одновременно происходит два принципиально различных физических процесса: периодическое преобразование потенциальной энергии в кинетическую и компенсация механической энергии, потребляемой нагрузкой, электромагнитной энергией, вырабатываемой электродвигателем.

В первом приближении (гармоническая линеаризация) эти процессы идут независимо, поскольку $\dot{\varphi} + \varphi = 0$.

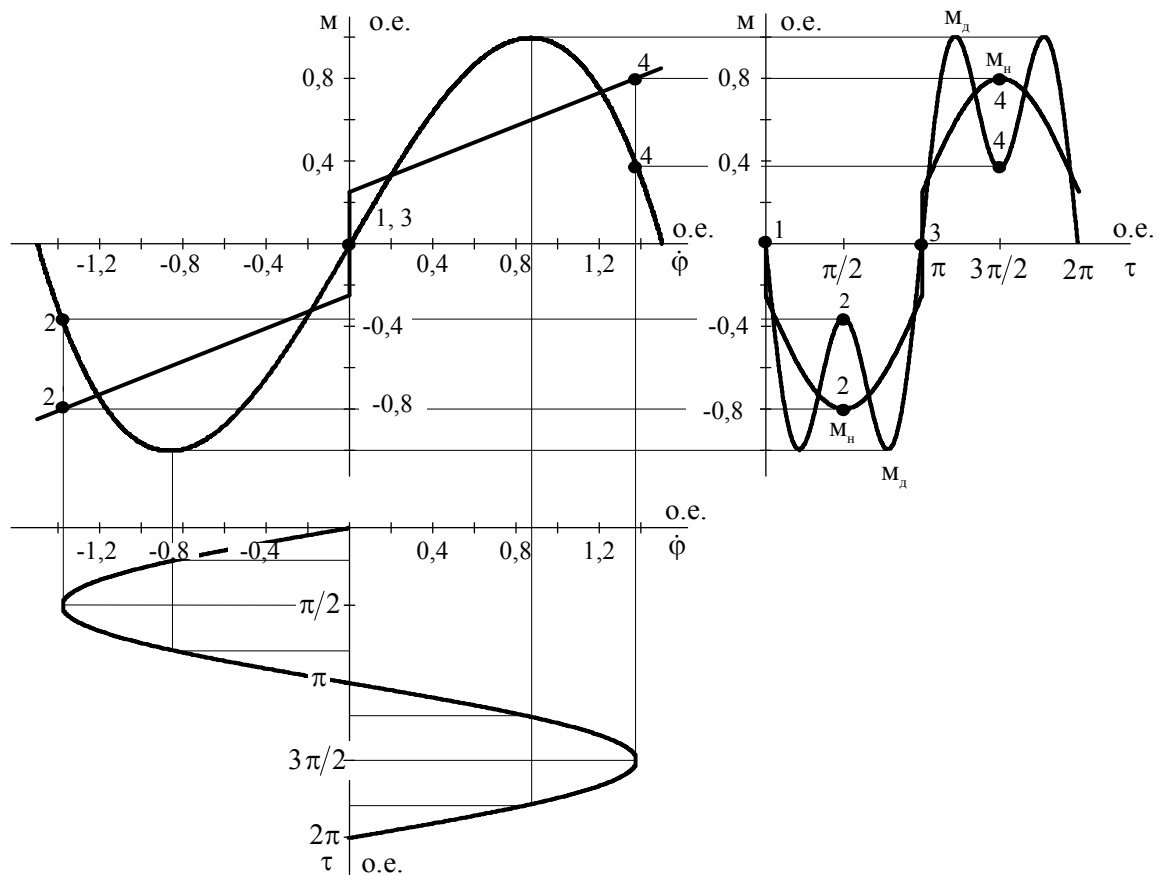
Потенциальная q_{Π} и кинетическая q_{κ} энергии положительны, изменяются с двойной частотой автоколебаний со сдвигом по фазе на 180° так, что суммарная энергия $q_{\kappa} + q_{\Pi} = 1,9038$ остается постоянной и равной энергии, затраченной на первоначальное отклонение маятника для пуска в автоколебательный режим.

Потенциальная p_{Π} и кинетическая p_{κ} мощности разнополярны, изменяются тоже с двойной частотой со сдвигом по фазе на 180° так, что суммарная мощность $p_{\Pi} + p_{\kappa} = 0$.

Сопоставление знаков энергий и мощностей показывает, что при движении маятника из положения 1 в положение 2 ($q_{\Pi} > 0$, $p_{\Pi} < 0$; $q_{\kappa} > 0$, $p_{\kappa} > 0$) потенциальная энергия полностью преобразуется в кинетическую, а при движении из положения 2 в положение 3 ($q_{\Pi} > 0$, $p_{\Pi} > 0$; $q_{\kappa} > 0$, $p_{\kappa} < 0$) кинетическая энергия преобразуется в потенциальную.

Этим обусловлено отсутствие электромагнитных пусковых процессов электродвигателя в крайних положениях маятника ($\dot{\varphi} = 0$) и «застывания» его в нейтральном положении ($\dot{\varphi} = \dot{\varphi}_m$).

Процесс компенсации нагрузки электродвигателем идет так, что мгновенная механическая мощность двигателя $p_{\text{д}}$ изменяется с двойной частотой автоколебаний и полностью потребляется нагрузкой $p_{\text{н}}$, а электромагнитное усилие двигателя и силы сопротивления нагрузки изменяются с частотой автоколебаний и равны друг другу.



a)

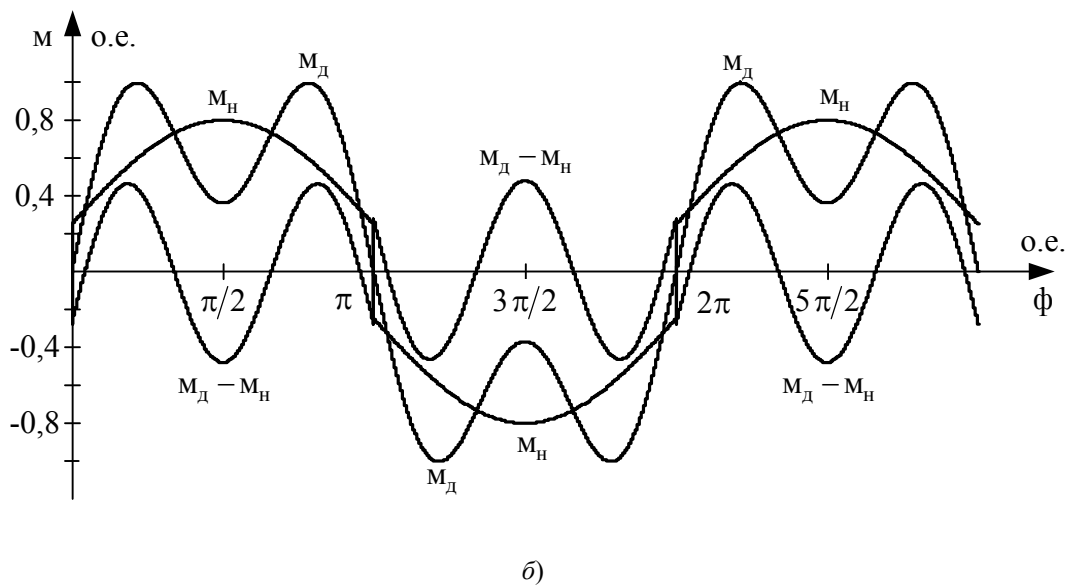


Рис. 2. Построение временных диаграмм моментов двигателя и нагрузки (а) и их расхождение (б)

С целью уточнения физики процессов, происходящих в автоколебательной системе, были графически получены циклограммы моментов нагрузки и электродвигателя при гармоническом законе автоколебаний с помощью механических характеристик.

В рассматриваемом случае согласно (2) и (3) механические характеристики двигателя и нагрузки можно записать в виде

$$\mu_d(\dot{\varphi}) = 1,73\dot{\varphi} - 0,77\dot{\varphi}^3;$$

$$\mu_n(\dot{\varphi}) = 0,25 \text{Sign } \dot{\varphi} + 0,4\dot{\varphi}.$$

Результаты построений представлены на рис. 2, для $\dot{\varphi} = -1,3798 \sin \tau$, где точки 1, ..., 4 обозначены соответствующие положения маятника на рис. 1.

Видно, что при перемещении маятника из положения 1 в положение 2 первоначально $\mu_n > \mu_d$, что приводит к подтормаживанию движения, затем $\mu_d > \mu_n$, что заставляет маятник разогнаться, и, наконец, при подходе к нейтральному положению 2 вновь $\mu_n > \mu_d$ и вновь маятник тормозится.

За счет кинетической энергии маятник проходит нейтраль с максимальной скоростью и процесс «подтормаживания – разгона» повторяется.

Таким образом, в течение цикла автоколебаний имеется девиация закона колебаний по отношению к гармоническому. Кроме того, выяснилось, что для получения устойчивых автоколебаний рабочая точка на механической характеристике электродвигателя должна «забегать» за критическую и точку пересечения механических характеристик электродвигателя и нагрузки.

На рис. 2, б представлены временные диаграммы момента двигателя, нагрузки и их разности. В рассматриваемом случае эта разность достаточно велика, что говорит о необходимости уточнения закона колебаний, например, по методу гармонического баланса.

Выводы

1. В исследованной системе в первом приближении периодические процессы преобразования потенциальной энергии в кинетическую и обратно и компенсации диссипативных сил электромагнитными можно рассматривать независимо друг от друга.

2. Устойчивый автоколебательный цикл возникает в системе при «забегании» рабочей точки механической характеристики двигателя за критическую и точку пересечения ее с механической характеристикой нагрузки.

3. При большом различии в механических характеристиках двигателя и нагрузки в течение цикла автоколебаний возникает девиация закона колебаний по отношению к гармоническому.

Литература

1. Луковников, В. И. Условие устойчивости автоколебательной системы «однофазный асинхронный электродвигатель – пружина» / В. И. Луковников, Г. И. Селиверстов, А. В. Туренкова // Вестник ГГТУ им. П. О. Сухого. – 2005. – № 4. – Гомель : ГГТУ им. П. О. Сухого, 2005. – С. 64–68.
2. Пат. 1С1 ВУ, МПК G01В 1/00, G01М 13/00. Стенд динамических испытаний пружин / Луковников В. И., Рудченко Ю. А. – № 2156; заявл. 14.02.05; опубл. 30.09.05 // Афіцыйны бюлетэнь / Дзярж. пат. ведамства Рэсп. Беларусь. – 2005. – № 3.

Получено 14.07.2006 г.